

高等學校教學用書

專業輕金屬冶金學

電冶鋁部分

東北工學院有色系輕金屬冶煉教研室 編著

冶金工業出版社

# 目 录

## 序

<b>第一篇 鋁电解理論基础</b>	1
<b>引言</b>	1
<b>第一章 电解質的体系及其性質</b>	5
§ 1. 电解質的熔度	5
§ 2. 电解質的密度	13
§ 3. 电解質的粘度	17
§ 4. 电解質的表面張力与潤湿性	20
§ 5. 电解質的蒸气压力与揮發性	37
§ 6. 电解質的导电度	41
§ 7. 几种可能采用的添加物对电解質物理-化学性質的影响	50
<b>第二章 电解質各組成分的分解电压</b>	55
§ 1. $\text{Al}_2\text{O}_3$ 分解电压的計算	55
§ 2. $\text{Al}_2\text{O}_3$ 分解电压的測定	60
§ 3. 电解質其他組成分的分解电压	65
<b>第三章 电解机构</b>	68
§ 1. 电解机构的兩类學說	68
§ 2. 冰晶石-氧化鋁熔体的結構	69
§ 3. 两極反应	75
§ 4. 两極附近电解質成分的变化	78
<b>第四章 两極副反应</b>	80
§ 1. 阳極副反应	80
§ 2. 阴極副反应	99
<b>第五章 冰晶石-氧化鋁熔体电解时的电流效率与电能效率</b>	105
§ 1. 概說	105
§ 2. 鋁在电解質中的溶解与損失	107
§ 3. 各种因素对电流效率的影响	110
§ 4. 电流效率的測定	132
<b>第二篇 鋁电解生产</b>	134
<b>第一章 鋁电解生产概述</b>	134
§ 1. 生产过程概述	134
§ 2. 电解所用之原料及材料	135
§ 3. 鋁电解車間	137

<b>第二章 鋁电解槽</b>	140
§ 1. 鋁电解槽的构造及其發展	140
§ 2. 电解槽的安装	147
<b>第三章 鋁电解槽的焙燒</b>	152
§ 1. 焙燒的目的和原則	152
§ 2. 連續阳極旁插棒式电解槽的焙燒	153
§ 3. 連續阳極頂插棒式电解槽的焙燒	155
<b>第四章 电解槽的开动</b>	158
§ 1. 电动前期	158
§ 2. 开动后期	160
<b>第五章 鋁电解槽的正常生产</b>	165
§ 1. 正常生产的技术条件	165
§ 2. 加料-加氧化鋁	169
§ 3. 阳極的調整与维护	176
§ 4. 出鋁	181
§ 5. 电解質成份的檢查和調整	183
§ 6. 鋁电解生产过程的强化	194
§ 7. 电解鋁質量的提高	198
§ 8. 鋁电解生产中磁场的影响	199
§ 9. 病槽及事故处理	204
§ 10. 鋁电解槽的破损与维护	211
§ 11. 劳动組織与安全生产	216
§ 12. 鋁电解生产的成本	218
<b>第六章 原鋁的氯化与鑄錠</b>	222
§ 1. 原鋁的質量	222
§ 2. 氯化	223
§ 3. 鑄錠	225
<b>第七章 炭渣处理与阳極气体利用</b>	229
§ 1. 炭渣处理	229
§ 2. 阳極气体的利用	232
<b>第三篇 鋁电解的設計与計算</b>	235
<b>第一章 鋁厂設計基础</b>	235
§ 1. 設計的程序和內容	235
§ 2. 关于电解鋁厂的建設問題	237
§ 3. 直流电源的选择	240
§ 4. 电解槽系列电力制度的确定	244
§ 5. 車間組成与厂房布置	250
§ 6. 电解厂房內的通风与排烟	256

## 第一篇 鋁电解理論基礎

引言

目前在工业上生产鋁的方法是把用不同方法由鋁矿中提取出来的 $\text{Al}_2\text{O}_3$ 溶解在熔融的冰晶石中，在电解槽內通直流电进行电解。由于电解質的基本成分是冰晶石与氧化鋁（不考虑添加物），因此，就把这种熔体的电解称为冰晶石-氧化鋁熔体的电解。电解的温度很高，依各工厂的情况不同，在925—960°C之間。由于电解必需維持在这样高的温度下进行，因此，要有一部分电能用在补偿电解槽的热损失上，所以电能效率很低，最高也只能达到40%，一般在36—38%之間。电流效率在85—92%之間。每一吨鋁約耗电能16000—18000 库-时。这还没有談到生产氧化鋁的工序的复杂性与花費之巨大，以及必需有昂贵的冰晶石与炭素材料相配合的問題。

由此看来，这种生产鋁的方法并不是完全令人滿意的。因此，改进它，更重要的是从根本上否定它，另寻新的途徑，很久以来就成为引人注目的一个課題，并且在这方面也作了許多工作。比如，曾經試用过以其他熔融介質代替冰晶石来电解氧化鋁。曾用过的有各种金屬的氯化物、氢氧化物、碳酸盐、硫酸盐、硫化物、鋁酸盐等。但是，哪一种也沒有得到很好的結果：不是由于氧化鋁溶解度小，就是由于揮發性大或吸水性强，乃至在高温下不稳定等原因，都不能与冰晶石-氧化鋁熔体相抗爭。因此至今冰晶石-氧化鋁熔体电解法仍成为工业鋁生产的主要方法。

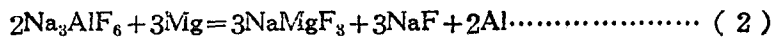
此外，從鋁冶金發展的歷史中，我們也可以窺視一些端倪，找到一些規律。

比如，大家都知道，在1854—1890年間，在电解法出現在工业上之前，曾經在法國用戴維耳(Deville)的方法生产过鋁。改进以后的这种方法，是以金属钠来还原 $\text{NaCl}$ 与 $\text{AlCl}_3$ 的复盐( $\text{NaCl} \cdot \text{AlCl}_3$ )：



当时得到的鋁价格高昂，实际上并不能在工业上应用，因为还原剂鈉的价格十分昂贵，且生产不能大规模进行。

大約在同一時間內，在德国的格梅林根采用俄罗斯化学家 H.H. 别凯托夫(Бекетов)的方法也在工业規模内进行过鋁的生产。别凯托夫的方法是以金属镁来还原冰晶石( $\text{Na}_3\text{AlF}_6$ )：



当时用这种方法生产了58吨金属铝。

这种方法虽然在某些方面比上述戴維耳的方法有某些优点（比如，镁较钠贱，而等重量的镁比钠多生产92%的铝等）。但是，这种方法仍然没有摆脱以一种较贵的金属进

行置換的方法所固有的一些缺点，因此，也不能大規模工业生产。实际上，以这些方法生产出的鋁，还不是工业的金属。

在这段期间內，用这两种化学的方法一共生产了約 200 吨鋁。直到十九世紀末叶，冰晶石-氧化鋁熔体电解法問世以来，上述各种化学方法即完成了自己的历史使命而讓位給这种新生的电解法了。采用电解法在工业上生产鋁以后，尽管当时的生产指标都非常落后，但是它已使鋁的現行价格降低了 40 倍。从此，鋁才成为一种工业金属而为人类服务。

也許可以像銅、鉛、鋅那样，用鋁盐的水溶液来电解，以便在阴極母板上得到固体的鋁。但是，这是不能成功的。因为鋁离子 ( $\text{Al}^{3+}$ ) 的析出电位比氢离子 ( $\text{H}^+$ ) 的高，所以电解的結果，在阴極上得不到鋁，得到的是氢气 ( $\text{H}_2$ )。

也有人想用水銀阴極电解硫酸鋁 [ $\text{Al}_2(\text{SO}_4)_3$ ]，企圖得到鋁汞齐，而后再蒸馏得鋁。这种方法虽然沒有更多的研究，但可以料到，是很少有成功可能的。一則，氢在水銀上的过电压达不到超过鋁离子析出电位的数值，这样，鋁的析出仍很困难。二則，在室温下鋁在水銀中的溶解度極微，只为 0.002%。因此，不能得到鋁汞齐。故縱有鋁析出（假定氢在水銀上的过电压超过鋁离子的析出电位），此新生之鋁，由于其高度化学活性，則立即与  $\text{H}_2\text{O}$  化合生成  $\text{Al}(\text{OH})_3$ 。

因此，以带有氢离子的电解質进行电解是不能得到鋁的。这样一来，自然就把人們的注意力引到采用不含氢离子的鋁的有机化合物电解方面来。

比如，报导有采用鋁的有机盐类进行电解的研究。但由于有机盐类电阻較大，稳定性不足，生成树枝状組織造成兩極短路，以及价格昂贵等，所以在实际上的应用，遭到了很大困难。

像煉鐵、煉鋅等冶金方法那样，用炭来还原氧化鋁制取鋁的試驗，也曾使人們化費了許多劳动。这在电解法出現之前，从十九世紀五十年代开始，就进行許多次用碳在高温下还原氧化鋁的嘗試。許多專利文献記載了在电爐、鼓風爐內用碳还原氧化鋁制取金属鋁的研究結果，并且，为了促进反应的进行，还添加了食盐、石灰石等。但是，不管哪种都沒有得到良好的結果。最好的情况下，也只是得到包裹在由碳化鋁、氧化鋁构成的粘糊中的金属珠罢了。

后来，由于人們对于在高温时以碳还原氧化鋁的过程的物理-化学实质进行了研究，特别是在本世紀的三十年代，对于在温度高于  $2000^\circ\text{C}$  时的  $\text{Al}_2\text{O}_3-\text{Al}$ ， $\text{Al}_4\text{C}_3-\text{Al}$  与  $\text{Al}-\text{Al}_2\text{O}_3-\text{Al}_4\text{C}_3$  这三个体系的研究，才了解到为什么得不到純鋁的原因。

氧化鋁以碳还原的反应是：



經热力学計算得知，在大气压下，此反应的开始温度为  $2097^\circ\text{C}$ ，即超过  $2000^\circ\text{C}$ 。

虽然这样高的温度在电弧爐中尙不难达到。但是，在这个温度下，鋁的蒸气压已經很高，因此，反应所得的鋁，部分轉为鋁的蒸气，而在冷凝时，又与 CO 相互作用，反过来生成  $\text{Al}_2\text{O}_3$  与 C。因为反应 (3) 是一个可逆反应。

此外，在反应温度条件下，鋁与碳强烈地發生作用，生成碳化鋁：



而碳化鋁在該溫度下也具有很高的蒸氣壓力（約近于鋁的蒸氣壓力）。因此，如鋁在爐外冷凝，則其中亦混有大量碳化鋁。

另外一点非常重要的是，在高温下（2000°C以上）， $\text{Al}_2\text{O}_3$ — $\text{Al}_4\text{C}_3$ —Al 相互溶解，构成一种难熔的粘糊。这样一来，就妨碍了反应的正常进行。

由于这些原因，所以，氧化鋁以碳还原直接制取純鋁是不能成功的。許多研究者多次的試驗研究都証實了这个結論。

虽然如此，但是在研究過程中却獲得了許多有益的資料。這些資料給熔煉鋁硅合金奠定了基礎（詳見第三部分第二章）。

在这里也还應該談到以硫化鋁作為電解質進行電解制鋁的嘗試。由於硫化鋁的分解電壓較氧化鋁的分解電壓低 ( $\text{Al}_2\text{S}_3$  分解電壓約為 1 伏特,  $\text{Al}_2\text{O}_3$  的分解電壓約為 2.1 伏特), 而與  $\text{NaCl}$  共熔所得到的熔體初晶溫度又低 (含 40%  $\text{NaCl}$ , 60%  $\text{Al}_2\text{S}_3$  的熔體, 初晶溫度為  $630^\circ\text{C}$ )。這樣, 以  $\text{Al}_2\text{S}_3$  電解自然可以預期在電能效率與電流效率方面得到較好的結果。

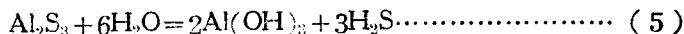
這個問題，很早就引起了人們的注意。遠在1898年，美國人布留海爾就曾提出將硫化鋁與鹼金屬或鹼土金屬的氯化物共熔進行電解製鋁的報告。而後，又有許多學者作過一些嘗試。

1939年A.И.別略耶夫对此进行了詳細的研究<sup>(1)</sup>。他用含鋁70%的鋁鉄合金与硫化鐵放在一起，加入NaCl，在1200—1300°C下进行反应，制得了硫化鋁。而后，配成硫化鋁与氯化鈉比例为60:40的試料，进行电解試驗。

結果表明，电解温度虽較冰晶石-氧化鋁熔体电解温度为低，而反电 动势也較小，但是，这种方法在工业上实现却还有存在着一系列問題。

首先，硫化鋁的制取十分困难。直接以鋁矿同硫化鐵熔煉，很难制得純硫化鋁，而以氯化鋁熔煉則缺乏实际意义。

其次，硫化鋁本身極易潮解。與空气中水汽作用生成硫化氫：



并造成硫化鋅的損失。

三副，电解时析出  $\text{SO}_2$  使操作条件变坏。

因此，这种方法也还是停留在研究阶段。

此外还有一些其他的制铝方案。比如奥人科鲁 (Kruh) 还提出过以铝矿与过量碳在电炉中熔炼制取碳化铝，而后提高温度使碳化铝分解得纯铝的专利<sup>(2)</sup>。其想法虽然不无可取之处，但并没有在工业上实现。

因此，直到現在，在工业上几乎只有用电解冰晶石-氧化鋁熔体一种方法来完成鋁生产的全部任务。

当然，电热法熔炼铝硅合金，并由铝硅合金中提取纯铝的方法，已经显示出它的巨大生命力，而且在半工业规模内，乃至一定程度的工业规模内开始进行生产。但是，在目前生产铝的数量方面，还远远不能与电解法相比，尽管它的前途十分辽阔。

(1) А. И. Беляев, цветные металлы, 1939, 1.

(2) 魏寿琨, 化工年刊, 1948 (創刊号)。

前邊已經談到，作為電解來說，許多電解質都不能適合工業的應用，而獨冰晶石-氧化鋁熔體可行。究其原因就是由於冰晶石-氧化鋁熔體，首先是冰晶石熔體，能滿足熔融鹽電解的一些基本要求。

作為熔融電解質應該是：

1. 其中不含有比鋁正電性的金屬，否則，則使所得鋁不純；
2. 電解質在熔融狀態下，其中氧化鋁的溶解度很大；
3. 電解質的熔點（初晶溫度）和鋁的熔點之間，保持一個適當的距離，過大是不適宜的；
4. 熔融電解質的密度和鋁的密度之間有一定的差數，最有利的是熔融電解質的密度小於熔融鋁的密度，這樣就使鋁處於電解質之下，保護著鋁免遭氧化；
5. 熔融電解質的流動性好，但亦不宜太大；也就是說粘度適當。粘度过大，使電解時所生成的氣體不易排出，同時也使電解質均勻化遭受困難。但粘度过低，使溶解在靠近陰極的電解質中的鋁，向陽極附近與電解質表面的轉移速度增加，這就會造成鋁的過多損失；此外，粘度过小使氧化鋁易於沉到槽底上，不能很好溶解；
6. 熔融電解質的導電性應該很高，不然則會使極間電壓降過大，造成過多電能消耗；
7. 熔融電解質不應該對槽底、槽襯與陽極有侵蝕作用；
8. 在電解溫度條件下熔融電解質的揮發性要低，否則會使原材料消耗過多；
9. 電解質在固體與熔體狀態下，應該是吸水性很小的。

這就是對電解質的一些基本要求。下邊我們在研究電解質的物理-化學性質時，將會看到冰晶石-氧化鋁熔體對於這些要求滿足的程度。但事先可以說，冰晶石-氧化鋁熔體對於這些要求，一般都是符合的。這也就是至今還無可代替的原因。但也必須說，在某幾點上，這種電解質還有不能完全令人滿意之處。因此，許多人對於改善電解質性質的根據，也就在此。

# 第一章 电解質的体系及其性質

目前鋁电解槽所使用的电解質，已經远不是簡單的冰晶石—氧化鋁二元系，而是复杂的四元系、五元系乃至多元系了。如果不考慮杂质的作用，現代鋁电解槽电解質可以看作是  $\text{Na}_3\text{AlF}_6$ — $\text{Al}_2\text{O}_3$ — $\text{AlF}_3$ — $\text{CaF}_2$  系或  $\text{Na}_3\text{AlF}_6$ — $\text{Al}_2\text{O}_3$ — $\text{AlF}_3$ — $\text{CaF}_2$ — $\text{MgF}_2$  系。

虽然如此，但是， $\text{Na}_3\text{AlF}_6$ — $\text{Al}_2\text{O}_3$  仍是这复杂体系的基础。

## § 1. 电解質的熔度

由于冰晶石 ( $\text{Na}_3\text{AlF}_6$  或  $3\text{NaF}\cdot\text{AlF}_3$ ) 是由  $\text{NaF}$  与  $\text{AlF}_3$  构成的，因此，在研究冰晶石时，應該首先研究  $\text{NaF}$ — $\text{AlF}_3$  系。

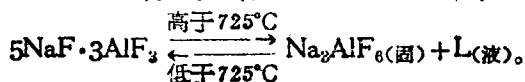
$\text{NaF}$ — $\text{AlF}_3$  系状态圖首先由苏联学者 П. П. 費道切夫 (Федотов) 与 В. П. 伊林斯基 (Илинский) 于1912年进行了仔細的研究。随后，1913年，Н. А. 蒲申 (Пушин) 与 А. В. 巴斯科夫 (Басков) 也对此二元系的状态圖作了研究。二者結果分歧甚大。因此，促使 З. Ф. 倫金娜 (Лундина) 在十分慎重的条件下 (采用純試劑并極力避免所研究熔体与空气的接触)，重新研究了  $\text{NaF}$ — $\text{AlF}_3$  二元系状态圖。

研究結果表明，她所得到的状态圖与費、伊二氏的状态圖，几乎完全一致。少許差別只是在于在她的結果中沒有發現冰晶石在氟化鈉中的固溶体，以及冰晶石的熔点稍高些 ( $1011^\circ\text{C}$ )。最近，Г. А. 阿布拉莫夫 (Абрамов) 等又檢查了該系，所得結果也与費、伊二氏的結果十分一致<sup>(1)</sup>。

因此， $\text{NaF}$ — $\text{AlF}_3$  系的状态圖可以認為是確立了。

圖 1—1 內举出了費、伊二氏的  $\text{NaF}$ — $\text{AlF}_3$  二元系状态圖。

由那里看出，状态圖上有两个化合物和两个共晶存在。第一个化合物在 25% (分子)  $\text{AlF}_3$  时，物质或分为  $3\text{NaF}\cdot\text{AlF}_3$  或  $\text{Na}_3\text{AlF}_6$ 。这相当于矿物冰晶石的成分。其熔点为  $1000^\circ\text{C}$ 。由两侧液相线所形成之峰，具有一定程度的尖銳特性。另一个化合物在 37.5% (分子)  $\text{AlF}_3$  处，相当于成分为  $5\text{NaF}\cdot3\text{AlF}_3$ 。是一个隱峰。其熔点为  $725^\circ\text{C}$ 。但熔化后立即分解为冰晶石与含 40% (分子)  $\text{AlF}_3$  的熔体：



两个共晶点：一个是在 14% (分子)  $\text{AlF}_3$  时，另一个是在 46.5% (分子)  $\text{AlF}_3$  时。前者熔点为  $885^\circ\text{C}$ ，后者为  $685^\circ\text{C}$ 。

另外，也有的文献記載还有第三个共晶，在 67.5% (分子)  $\text{AlF}_3$  处，熔点为  $640^\circ\text{C}$ 。也还有相当于  $\text{NaF}\cdot\text{AlF}_3$  (或  $\text{NaAlF}_4$ ) 的化合物存在，其熔点为  $775^\circ\text{C}$ 。

对于化合物  $\text{NaAlF}_4$  的存在，Г. А. 阿布拉莫夫等人持有否定的态度<sup>(1)</sup>。但是，根据 E. H. 霍瓦特 (Howard) 等的研究， $\text{NaAlF}_4$  的存在是无可置疑的。E. H. 霍瓦特不仅

(1) Г. А. Абрамов и др., Теоретические основы электрометаллургии алюминия, 1953.

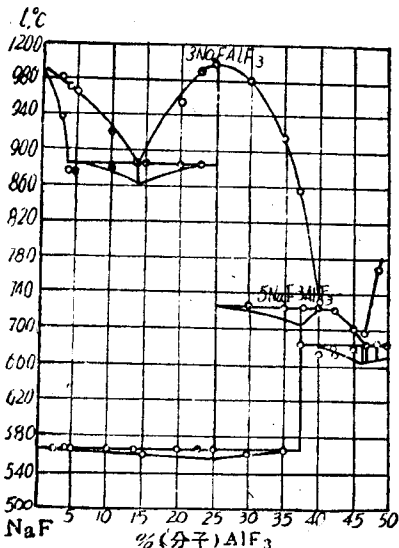


圖1-1 NaF—AlF<sub>3</sub>系状态圖  
(費道切夫与伊林斯基)

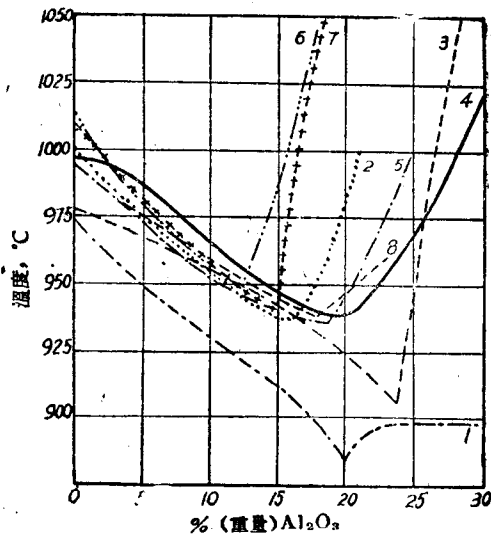


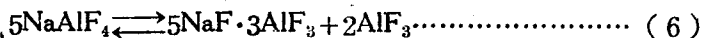
圖 1—2  $\text{Na}_3\text{AlF}_6$ — $\text{Al}_2\text{O}_3$  系熔度圖

(根据不同学者的資料)

1—莫利真加烏埃尔；2—費道切夫与伊林斯基；3—巴斯卡里与儒尼；4—罗林茨、雅布斯与埃特里；5—盧士与米阿克；6—馬紹難茨；7—倫金娜；8—德罗斯巴赫

詳細地研究了这种化合物的性質，并且根据 X 射綫的分析，还确定了它的品格常数<sup>(1)</sup>。

至于是否能在状态圖上呈現为显峰，倒是一个值得研究的問題。因为按 E. H. 霍瓦特的研究， $\text{NaAlF}_4$  在  $470^\circ\text{C}$  时分解为亞冰晶石与氟化鋁：



由圖 1—1 中看到，冰晶石中有  $\text{AlF}_3$  与  $\text{NaF}$  加入皆使初晶温度降低。对于  $\text{AlF}_3$  侧來說，这一点具有实际意义。这对于采用酸性电解質提供了有利条件。

由于冰晶石和氧化鋁是鋁电解槽电解質成分的基础，因此， $\text{NaAlF}_6$ — $\text{Al}_2\text{O}_3$ 系熔度圖的研究，也就自然引起許多人的兴趣，因为它不仅有理論意义，而且有重大的实际意义。

·  $\text{Na}_3\text{AlF}_6$ — $\text{Al}_2\text{O}_3$  系熔度圖的研究，实际上也就是氧化鋁在冰晶石中的溶解度的研究。

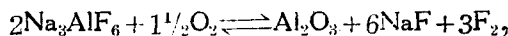
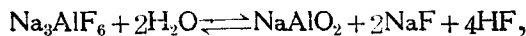
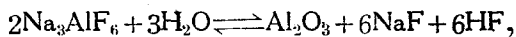
曾經有不下十名学者繪出了自己所得到的熔度圖。但是，值得深思的是，它們之間存在着很大的差別，几乎沒有兩個是完全吻合的。這一點由圖1—2看得很清楚。那裡舉出了不同學者的資料。圖上只繪出了液相線。

由那里看到：在亞共晶区域内，某些线条还算互相接近，而在超共晶区域内，则相差十分悬殊。冰晶石的熔点变动于975—1025°C之间。共晶点的位置也大不相同。

В.П. 馬紹維茨 (Машовец) 研究了这种分歧的原因。他認為：这种原因的产生，是由于各作者在試驗中对熔体隔絕空气的条件不同所引起的。由于对空气隔絕得不好，因

(1) E.H. Howard, J. Amer. Chem. Soc. 1954, 76, 2041.

此，某些作者所用的冰晶石已受到了空气中的水份与氧的作用而发生了“蜕变”（Вырождение），即生成了  $\text{Al}_2\text{O}_3$  与  $\text{NaF}$ ，乃至  $\text{NaAlO}_2$ ：



这样一来，就使所研究的熔炼由二元系转为三元系乃至四元系了。

但 Г. А. 阿布拉莫夫等人对此种解释，不以为然<sup>(1)</sup>。阿布拉莫夫等认为，在取冷却曲线这样短的时间内（10—15分钟），冰晶石的变化，根据马绍维茨本人的资料，不超过化学分析的误差范围。而实际上，在超共晶区域内分歧则十分巨大。假定发生“蜕变”是对的，那么，共晶的温度应该有所变化，但是，有五个曲线，其共晶温度几乎一致。

此外，在冰晶石“蜕变”过程很深时，共晶的位置应该向冰晶石侧移动。而实际却相反。没有采取办法隔绝空气的作者，得出共晶的位置距冰晶石的位置最远。相反，在防御最好的情况下所得到的数据（如 П.П. 费道切夫，З.Ф. 倫金娜），共晶的位置距冰晶石最近。

这些都说明以冰晶石“蜕变”来解释分歧的原因，不能认为是正确的。

Г.А. 阿布拉莫夫等认为：分歧的原因可能很多。但其中主要的是，第一，由于某些作者使用炭坩埚进行试验，因此，由于炭坩埚对  $\text{NaF}$  与  $\text{Al}_2\text{O}_3$  的选择吸收，使熔体中这两个成分减少，这就造成共晶向  $\text{Al}_2\text{O}_3$  侧的移动。其次，氧化铝的结晶热效应小，也是造成分歧的原因。由于氧化铝的结晶热效应小，则在熔体冷却速度大时，则冷却曲线上折点即不易看出。再则，采用试剂纯度不够或温度测量不准也是造成误差的原因。

此外，也还可以想到，各学者进行试验所采用的氧化铝的活性大小，也将有很大关系。根据最近 К.Г. 马林（Марин）与 А.И. 别列耶夫的研究，冰晶石的活性，对于  $\text{Al}_2\text{O}_3$  在冰晶石中的溶解度（确切说是溶解速度）有所影响。所形成的熔度图，也依所采取的  $\text{Al}_2\text{O}_3$  活性不同，而有所差异<sup>(2)</sup>。

目前多数人认为，比较可靠的是 З.Ф. 倫金娜所得到的  $\text{Na}_3\text{AlF}_6$ — $\text{Al}_2\text{O}_3$  二元系状态图。她是在使用纯化学试剂、小心隔绝空气，在铂坩埚内试验取得的。她所得到的状态图具有简单的共晶的特点（图1—3）。这种共晶特点，曾经为结晶光学分析所证实。苏联德涅泊钢厂中心试验室的研究证明，凝固后的冰晶石与氧化铝的熔体，在显微镜视野中，冰晶石仍然显示出它所独有的光学特征，比如，在含有  $\text{Al}_2\text{O}_3$  的合金中，冰晶石的折光

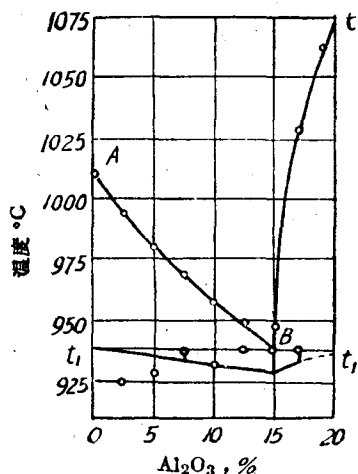


图1—3  $\text{Na}_3\text{AlF}_6$ — $\text{Al}_2\text{O}_3$  系熔度图  
(З.Ф. 倫金娜)

(1) Г.А. Абрамов и др., Теоретические основы электрометаллургии алюминия, 1953.

(2) К. Г. Марин, А. И. Беляев, Труды Министерства золота, 1957, №27.

率沒有变化。在显微鏡下看到的是冰晶石結晶体为  $\text{Na}_3\text{AlF}_6$  与  $\text{Al}_2\text{O}_3$  的共晶体所包围，而共晶体的数量随  $\text{Al}_2\text{O}_3$  含量的增加而增加。此外，这个状态圖的簡單共晶的特点，还为 X 光分析所証实。

由倫金娜的状态圖中得知，共晶点在 14.8%  $\text{Al}_2\text{O}_3$  时，共晶温度为 938°C。

在 950°C 下  $\text{Al}_2\text{O}_3$  在冰晶石中的溶解度約为 15.2%。这个状态圖的特点是，在超共晶范围内，随  $\text{Al}_2\text{O}_3$  含量的增加，液相綫陡峭地上升。

近来，工业电解槽广泛地采用酸性电解質（即电解質中氟化鋁的含量較冰晶石中氟化鋁的理論量多的电解質，这种电解質中的  $\text{NaF}$  与  $\text{AlF}_3$  的分子比小于 3）。因此，研究  $\text{Na}_3\text{AlF}_6$ — $\text{AlF}_3$ — $\text{Al}_2\text{O}_3$  系的熔度，是有实际意义的。

圖 1—4 上举出 A. A. 科斯丘科夫所繪制的  $\text{Na}_3\text{AlF}_6$ — $\text{AlF}_3$ — $\text{Al}_2\text{O}_3$  系熔度圖。

由圖上看到，这个圖上有两个无变数点，一个是三元共晶点  $e_0$ ，一个是三元包晶点  $e_1$ 。相当于  $e_0$  点的温度为 678°C，成分为：37.2%（分子） $\text{Na}_3\text{AlF}_6$ ，5%（分子） $\text{Al}_2\text{O}_3$  与 57.8%（分子） $\text{AlF}_3$ 。 $e_1$  点的温度为 710°C 成分为：45%（分子） $\text{Na}_3\text{AlF}_6$ ，7.9%（分子） $\text{Al}_2\text{O}_3$  与 47.1%（分子） $\text{AlF}_3$ 。在  $e_1$  点进行如下反应：

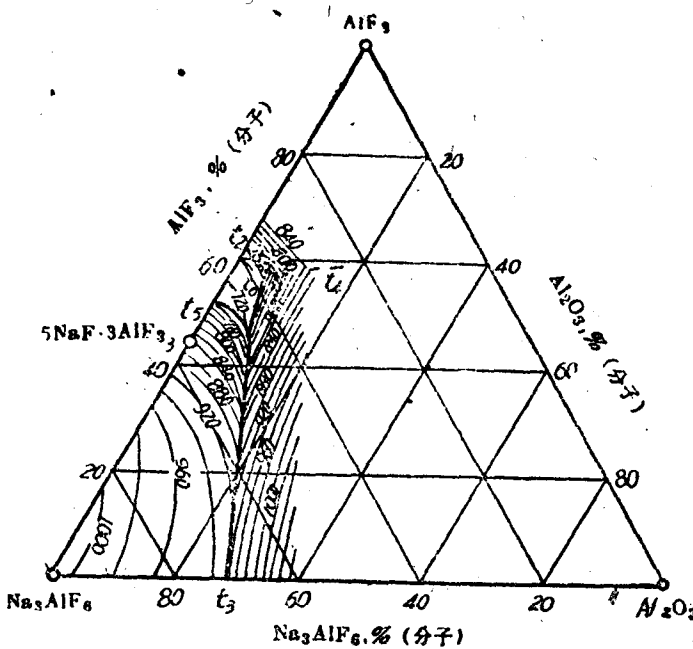


圖 1—4  $\text{Na}_3\text{AlF}_6$ — $\text{AlF}_3$ — $\text{Al}_2\text{O}_3$  三元系熔度圖（科斯丘科夫）

对工业鋁电解槽的电解質來說，其成分只相当于某一剖面或某一剖面区域。因为工业鋁电解槽的电解質，其中  $\text{NaF}$  与  $\text{AlF}_3$  的分子比（即所謂“冰晶石比”，在本書中以符号  $K$  表示）保持一定数值或在一定的較窄范围内变化。只有氧化鋁含量的变动較大。

因此，为了了解在冰晶石比固定下的  $\text{Na}_3\text{AlF}_6$ — $\text{AlF}_3$ — $\text{Al}_2\text{O}_3$  系的熔度，只要取相当于  $[\text{NaF}] / [\text{AlF}_3]$  固定的該系某一剖面即可。

圖1—5 上繪出根據 A. N. 別略耶夫的研究所得到的相當於在  $[NaF]/[AlF_3]$  等於 2.7 與 2.2 時的  $Na_3AlF_6-AlF_3-Al_2O_3$  三元系液相線圖，圖上也相應地舉出倫金娜的曲線 ( $K=3$ ) 以茲比較。

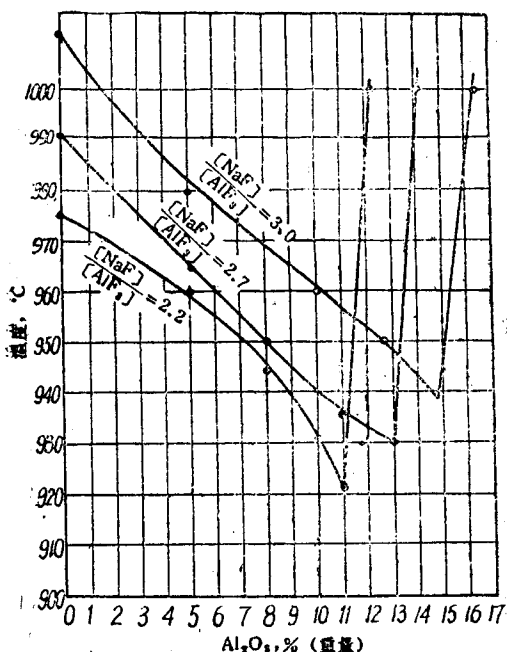


圖1—5  $(NaF)/[AlF_3]$  不同的  $Na_3AlF_6-AlF_3-Al_2O_3$  系熔體的液相線圖

圖1—6 中舉出根據 Г. А. 阿布拉莫夫等人的研究所得到的結果。

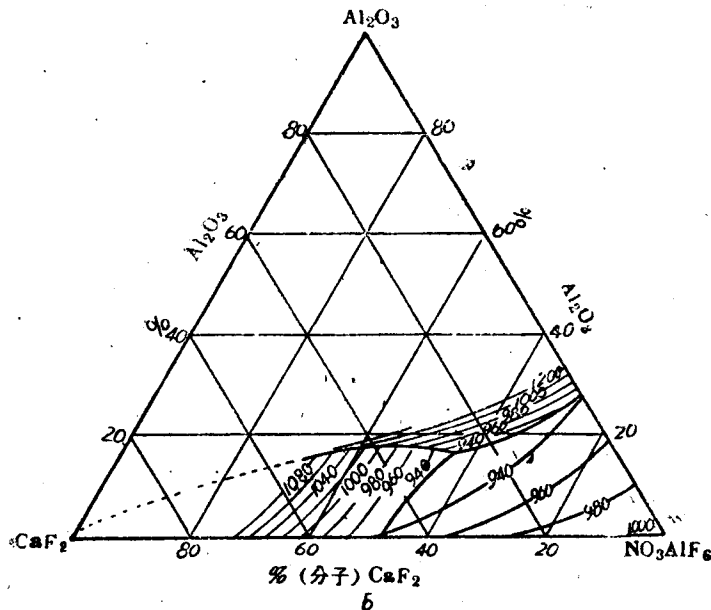


圖1—6  $Na_3AlF_6-Al_2O_3-CaF_2$  三元系熔度圖 (阿布拉莫夫等)

由那里看到，隨  $AlF_3$  含量的增加， $Al_2O_3$  的溶解度降低。比如，在純冰晶石中，即在  $[NaF]/[AlF_3]=3$  時，在  $1000^{\circ}C$  下  $Al_2O_3$  的溶解度為  $16.5\%$  (重量)，而在  $[NaF]/[AlF_3]=2.2$  時則為  $12.2\%$  (重量)  $Al_2O_3$ 。

此外，由那里還看到，在相同的  $Al_2O_3$  含量之下，初晶溫度隨冰晶石比的減小而降低。又，共晶點的位置隨冰晶石比的減小而向左下方移動。

由於工業鋁電解槽電解質中總是含有一定量的氟化鈣存在（為了改善電解質性質故意加入的和由於原料中的雜質氧化鈣與電解質中的冰晶石或氟化鋁相互作用所生成的），因此，許多人對  $Na_3AlF_6-CaF_2$  系， $Na_3AlF_6-AlF_3-CaF_2$  系及  $Na_3AlF_6-GaF_2-Al_2O_3$  系的熔度進行了研究。

由那里看到，在 $\text{Na}_3\text{AlF}_6-\text{Al}_2\text{O}_3$ 中加入 $\text{CaF}_2$ 使熔体的初晶温度降低。

圖上有一个共晶点，在57%（分子） $\text{Na}_3\text{AlF}_6$ , 16.2%（分子） $\text{Al}_2\text{O}_3$ 与26.8%（分子） $\text{CaF}_2$ 处。共晶温度为920°C。它比 $\text{Na}_3\text{AlF}_6-\text{Al}_2\text{O}_3$ 二元共晶的温度低15°。

A. И. 别略耶夫所研究的在 $[\text{NaF}]/[\text{AlF}_3]=2.2, 2.5$ 与 $2.7$ 时，含有固定的 $\text{CaF}_2$ 含量的熔体 [ $\text{CaF}_2$ 含量为7%（重量）]，其初晶温度随 $\text{Al}_2\text{O}_3$ 浓度变化的圖形，对我们更有用处（圖1—7）。

从圖上看到，有7%（重量） $\text{CaF}_2$ 存在，熔体的初晶温度又有所降低。与圖5相对照起来看，在相同分子比的情况下，熔体的最低点又向左下方，即向低温与 $\text{Al}_2\text{O}_3$ 含量小的方向移动。

还應該談一談含有氟化镁的电解質的熔度，以及同时含有氟化镁与氟化钙的电解質的熔度。前者的意义在于：目前許多国家都采用 $\text{MgF}_2$ 作为一种改善电解質性质的添加物（如苏联和我国的铝厂），后者在于： $\text{CaF}_2$ 不論故意加入与否，总是在电解槽中存在的。因此，如采用 $\text{MgF}_2$ 作为添加物，则电解質中将必然是 $\text{MgF}_2$ 与 $\text{CaF}_2$ 共同存在。

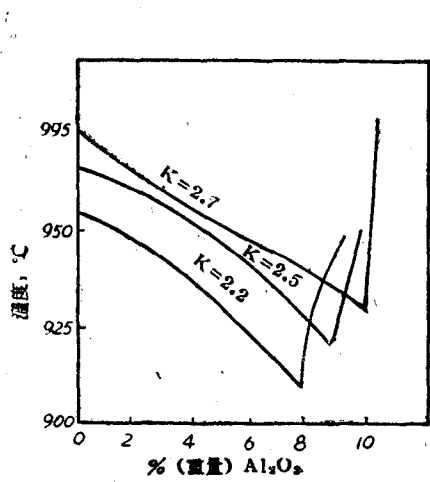


圖1—7 在不同的冰晶石比与固定的 $\text{CaF}_2$ 含量之下（7%（重量） $\text{CaF}_2$ ） $\text{Na}_3\text{AlF}_6-\text{AlF}_3-\text{Al}_2\text{O}_3-\text{CaF}_2$ 系的熔度圖（别略耶夫）

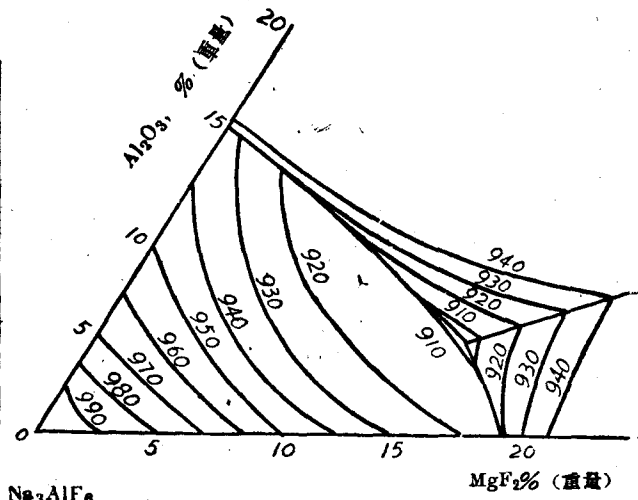


圖1—8  $\text{Na}_3\text{AlF}_6-\text{Al}_2\text{O}_3-\text{MgF}_2$  三元系熔度圖  
(别略耶夫)

A. И. 别略耶夫很早就注意到了氟化镁作为铝电解槽电解質成分可能起到的良好作用，并且进行了詳細的研究<sup>(1)(2)</sup>。1956年，为探討 $\text{MgF}_2$ 在中国铝电解槽操作条件下添加的可能性，邱竹賢对于 $\text{MgF}_2$ 对电解过程的影响也作了全面的研究<sup>(3)</sup>。

圖1—8上举出A.И. 别略耶夫所得到的 $\text{Na}_3\text{AlF}_6-\text{Al}_2\text{O}_3-\text{MgF}_2$ 三元系熔度圖的冰

(1) А.И. Беляев и др., Труды Министерства золота. 1954, №24.

(2) А.И. Беляев, Физико-химические процессы при электролизе алюминия, 1947.

(3) 邱竹賢, 氟化镁对铝电解过程的影响, 1956 (部分資料載东工有色金属, 1959.2).

### 晶石一角的圖形。

由那里看到，由冰晶石起，液相面向共晶点降低。共晶点为  $909^{\circ}\text{C}$ 。其成分为 80% (重量)  $\text{Na}_3\text{AlF}_6$ , 4.5% (重量)  $\text{Al}_2\text{O}_3$  与 15.5% (重量)  $\text{MgF}_2$ 。

关于  $\text{MgF}_2$  对  $\text{NaF}-\text{AlF}_3$  系熔体初晶温度降低的影响，可以这样說：在酸性范围内 ( $[\text{NaF}]/[\text{AlF}_3]=2.3-3.0$ )，对熔体初晶温度的降低，添加 10%  $\text{MgF}_2$ ，在  $[\text{NaF}]/[\text{AlF}_3]=2.3$  时，由  $975^{\circ}\text{C}$  降至  $935^{\circ}\text{C}$ ，在  $[\text{NaF}]/[\text{AlF}_3]=2.7$  时，由  $985^{\circ}\text{C}$  降到  $953^{\circ}\text{C}$ ，在  $[\text{NaF}]/[\text{AlF}_3]=3$  时，由  $990^{\circ}\text{C}$  降到  $960^{\circ}\text{C}$ 。降低范围在  $30-40^{\circ}\text{C}$  之間（圖 1—9）。

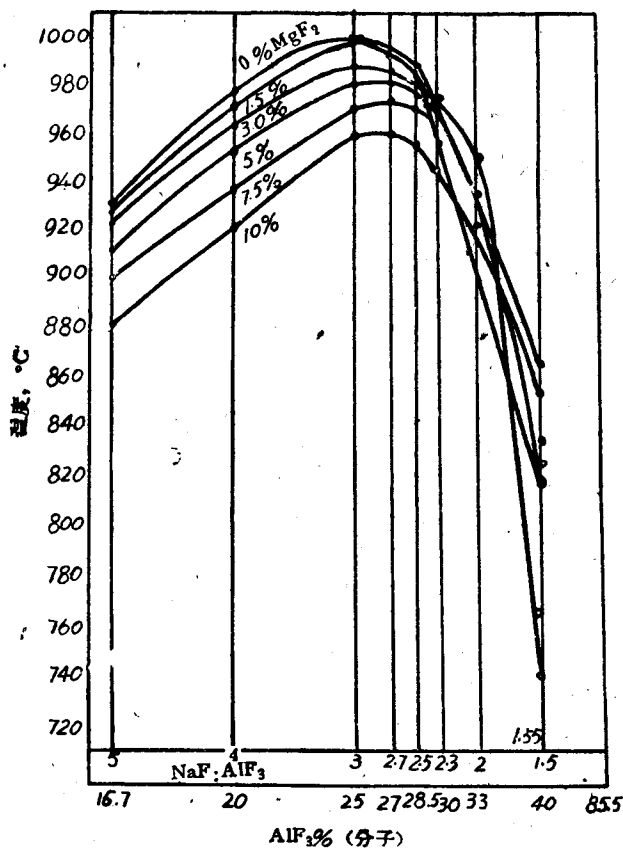


圖 1—9  $\text{MgF}_2$  对  $\text{NaF}-\text{AlF}_3$  系熔体初晶温度的影响（別略耶夫等）

上述結果是在沒有氧化鋁存在下得到的。有氧化鋁存在，初晶温度又有所降低。

下圖舉出  $\text{MgF}_2$  对冰晶石比为 2.5，含有不同数量  $\text{Al}_2\text{O}_3$  的熔体的初晶温度的影响（圖 1—10）。圖中还举出了  $\text{CaF}_2$  的相应曲綫（虚綫）。

由那里看出，在含 7%  $\text{Al}_2\text{O}_3$  时，添加 5% (重量)  $\text{MgF}_2$  可使熔体的初晶温度降低到  $900^{\circ}\text{C}$ 。同时看到， $\text{MgF}_2$  降低初晶温度的作用較  $\text{CaF}_2$  的大得多。 $\text{CaF}_2$  的一组曲綫位于  $\text{MgF}_2$  一组曲綫之上。

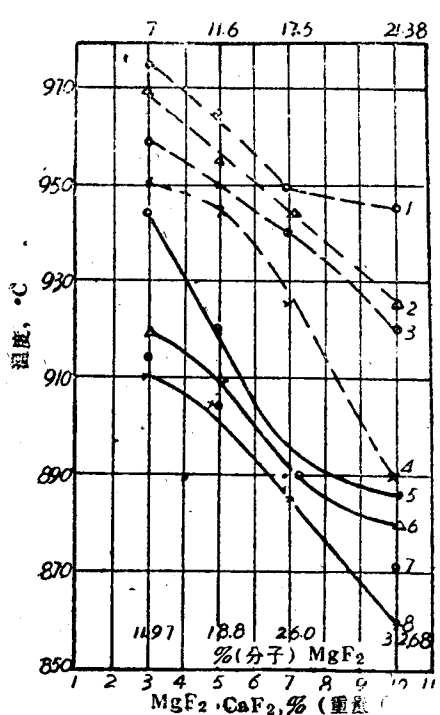


圖1—10 在不同的氧化鋁含量之下  $MgF_2$  与  $CaF_2$  对冰晶石比2.5的熔体的初晶温度的影响(別略耶夫等)

当然,工业电解槽电解质的初晶温度,是随时在变化的。电解槽处理后到再一次阳极效应发生,电解质初晶温度逐渐升高。这一点可以由H.I.諾威科夫(Новиков)与A.I.別略耶夫的研究(圖1—12)看得很清楚。相应的数据举于表2<sup>(2)</sup>。

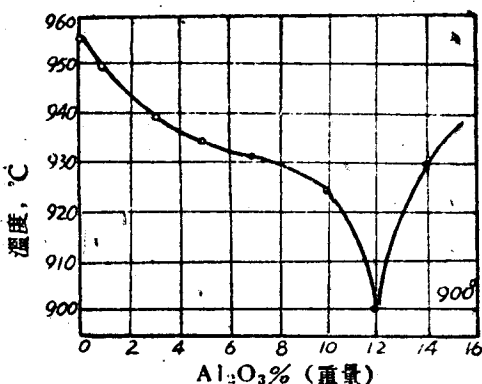


圖1—11  $(2.5NaF \cdot AlF_3 + 5\% \text{ (重量)} CaF_2 + 5\% \text{ (重量)} MgF_2) - Al_2O_3$  “假二元系”熔度圖

关于  $MgF_2$  与  $CaF_2$  对熔体初晶温度降低的共同影响,可由圖1—11看得很清楚。那里是A.I.別略耶夫, E.A.热姆邱仁娜(Жемчужена)与П.А.費尔薩諾娃(Фирсанова)所得到的所謂假二元系( $2.5 NaF \cdot AlF_3 + 5\% \text{ (重量)} CaF_2 + 5\% \text{ (重量)} MgF_2$ )— $Al_2O_3$  的熔度圖<sup>(1)</sup>。

由圖1—11看出,冰晶石比2.5,含有5% (重量)  $MgF_2$  与 5% (重量)  $CaF_2$  与  $Al_2O_3$  构成的熔体,在12%  $Al_2O_3$  时形成最低点,温度900°C。930°C时电解質中  $Al_2O_3$  的最大溶解度为14%。

这一切都說明,电解質保持酸性,即  $[NaF]/[AlF_3] < 3$ ,而同时添加  $CaF_2$  或  $MgF_2$  从熔度的观点来看,是有利的。特别是,如果电解質的冰晶石比达到2.2—2.3,在添加  $MgF_2$  并同时有  $CaF_2$  存在之下,可以保证电解在不高于930°C之下正常进行。

这一点同样也由我国的实际經驗所証实。

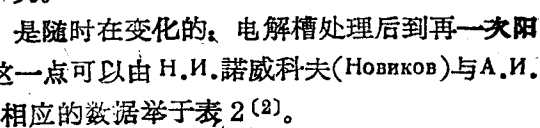


圖1—12 两次电解槽处理期間內工业铝电解槽电解質初晶温度的变化  
(諾威科夫与別略耶夫)

(1) А.И. Беляев и др., Цветные металлы 1957. 5. 70—74.

(2) Н.И. Новиков, А.И. Беляев, Цветные металлы, 1957. 11. 48—52.

由那里看出，在 $K$ （冰晶石比）=2.2—2.3时，最初的温度为920—930°C，而最后温度升到940—950°C，升高30°C。

温度的升高，显然是由于 $\text{Al}_2\text{O}_3$ 浓度降低所引起的。

把这个资料与上边所举的科斯丘科夫的 $\text{Na}_3\text{AlF}_6$ — $\text{AlF}_3$ — $\text{Al}_2\text{O}_3$ 系的结果相比较，说明工业铝电解槽电解质的初晶温度比该系相应熔体的初晶温度低15—20°C。这是由于其中含有 $\text{CaF}_2$ 与其他杂质之故。

工业电解槽电解质的初晶温度

表1—1

电解质中的冰晶石比( $K$ )与 $\text{Al}_2\text{O}_3$ 及 $\text{CaF}_2$ 的含量	初晶温度			后 期
	初 期	中 期	后 期	
$K = 2.8 - 2.6$	945—940	960—955	975—970	
$K = 2.6 - 2.4$	940—935	955—950	970—965	
$K = 2.4 - 2.3$	935—930	950—945	965—960	
$K = 2.3 - 2.2$	930—920	945—935	960—950	
$K = 2.2 - 2.1$	920—910	935—925	950—940	
$\text{Al}_2\text{O}_3, \%$ (重量)		5.0	1.3—2.0	
$\text{CaF}_2, \%$ (重量)	—	4—6	—	

由此可见，采取非灯亮操作，不等氧化铝含量过度降低即刻将电解槽加以处理，对于保持电解的低温操作是有利的。

## § 2. 电解质的密度

$\text{NaF}$ — $\text{AlF}_3$ 系熔体的密度，在相当于冰晶石成分的地方具有最高峰，但峰的位置稍向 $\text{NaF}$ 侧移动一些（图1—13）。

1000°C时 $\text{NaF}$ 的密度为1.961克/厘米<sup>3</sup>，冰晶石的密度为2.112克/厘米<sup>3</sup>。

而熔融铝在1000°C时的密度约为2.300克/厘米<sup>3</sup>。这就是说，在1000°C时熔融铝的密度比熔融冰晶石的密度大 $2.300 - 2.112 = 0.188$ ，即大11.2%，这就创造了在电解时使熔融铝位于熔融冰晶石之下的条件。但是，这种条件是在高温时表现出来的。固体状

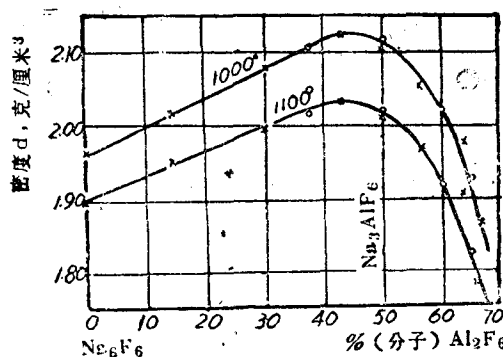


图1—13 1000与1100°C时 $\text{Na}_6\text{F}_6$ — $\text{Al}_2\text{F}_6$ 系熔体的密度等温线

态的冰晶石，其密度大于固体铝的密度，比如，在 $18^{\circ}\text{C}$ 时固体冰晶石的密度为2.948，而 $20^{\circ}\text{C}$ 时固体铝的密度为 $2.703\text{ 克/厘米}^3$ （铝的纯度为99.75%Al）。

可见，随温度升高，冰晶石密度的降低，较铝的密度的降低来得快些，以致在某一温度后，冰晶石的密度即开始小于铝的密度。

熔融冰晶石的密度随温度的变化，根据阿布拉莫夫的资料，可以下式表之：

$$d_t = 2.112 - 93 \cdot 10^{-5} (t - 1000) \quad (7)$$

式中： $d_t$ ——任何温度 $t$ 时的熔融冰晶石的密度；

$93 \cdot 10^{-5}$ ——温度系数。

而熔融铝的密度随温度的变化：

$$d'_t = 2.382 - 273 \cdot 10^{-6} (t - 658) \quad (8)$$

式中： $d'_t$ ——高于熔点的任何温度下的铝的密度；

$273 \cdot 10^{-6}$ ——熔融铝的温度系数。

研究密度的意义就在于能了解到在电解条件下电解质与铝液的密度差，从而判断其互相分离的好坏，以及在有添加物时对密度的影响。当然，熔体密度的研究还有其理论上的意义，那就是，它会帮助我们间接判明熔体的结构。此外，密度的数据，对粘度的计算也是必需的。

熔融冰晶石中有 $\text{Al}_2\text{O}_3$ 加入，使其密度降低。这一点明显地表现在图1—14上。从图上看到，含16%（分子）[8.46%（重量）] $\text{Al}_2\text{O}_3$ 的熔体，在 $1000^{\circ}\text{C}$ 时其密度为 $2.056\text{ 克/厘米}^3$ ，较纯冰晶石在 $1000^{\circ}\text{C}$ 时的密度低 $2.112 - 2.056 = 0.056$ ，即低2.6%。

冰晶石熔体中溶入 $\text{Al}_2\text{O}_3$ 后，密度的降低，显然是由于 $\text{Al}_2\text{O}_3$ 解离生成体积庞大的离子或嵌入冰晶石熔体构造之中，使体积膨胀之故。因为 $\alpha-\text{Al}_2\text{O}_3$ 的比重为3.9—4.0，比冰晶石的比重（2.95）大。

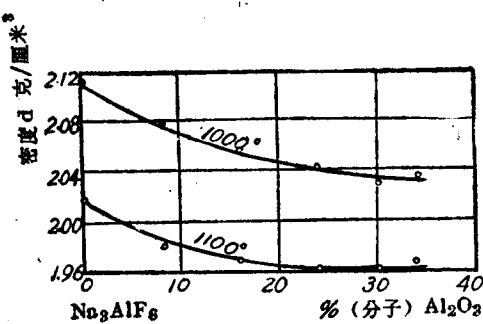


图1—14  $\text{Na}_3\text{AlF}_6-\text{Al}_2\text{O}_3$ 系熔体在 $1000^{\circ}\text{C}$ 与 $1100^{\circ}\text{C}$ 时的密度等温线

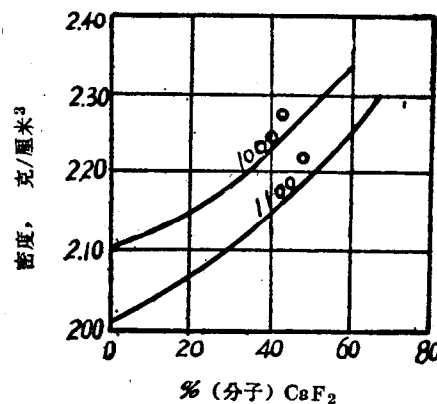


图1—15  $\text{Na}_3\text{AlF}_6-\text{CaF}_2$ 系熔体的密度

氟化钙加入电解质中，使熔体的密度增加，这无论是在 $\text{Na}_3\text{AlF}_6-\text{CaF}_2$ 系中（图1—15）或 $\text{Na}_3\text{AlF}_6-\text{CaF}_2-\text{Al}_2\text{O}_3$ 系中（图1—16）都是一样<sup>(1)</sup>。但是在有 $\text{Al}_2\text{O}_3$ 存在时，增加的程度来得小些。从图1—16看到，密度面的陡峭程度并不很大，这就是说， $\text{Na}_3\text{AlF}_6-$

(1) Г.А. Абрамов Теоретические основы электрометаллургии. алюминия, 1953. часть 3.